

<總 說>

液相金屬 脆性의 機構와 原因

邊 秀 一

韓國科學技術院 材料工學科

A Review of Mechanisms of Liquid Metal Embrittlement

Su-il Pyun

Korea Advanced Institute of Science and Technology

1. 緒 論

수증기와 고전적인 발전소에서 열전달媒質(heat transfer media)으로 사용되었지만 원자력 발전소에서 있을 수 있는 고온, 고압에서는 취급하기가困難하다. 그래서 최근에 원자력 발전소에서 Al, Bi, Pb, Mg, Na, Sn, Zn과 같은液相金屬(liquid metals)이熱傳達媒質으로 사용되고 있다. 이와 같은液體狀態의 金屬을取扱하는데 사용되는材料選定에問題가되고있다.

靄團氣중의 해로운成分이 金屬表面에吸着(adsorption)함으로써 表面energy를 낮게하여 表面金屬原子사이의結合力(cohesive bonds)를弱化시키는 과정이 어떤應力破壞(stress cracking) 또는破壞(cracking)의 일반적이고, 기본적인機構라고 생각한다면이 model에屬하는現象으로써 물에의한 유리의非電氣化學的破壞；有機液媒에의한plastics의非電氣化學的破壞；有機媒質；液相金屬(liquid metal embrittlement(LME))；粒界에偏析된微量의非金屬(temper embrittlement(TE))과 수소에의한金屬의非電氣化學的破壞(hydrogen embrittlement(HE))；hydrogen-induced cracking(HIC)；또는hydrogen-induced stress corrosion cracking(HISCC)；應力과電解質에의한金屬의電氣化學的破壞(stress corrosion cracking(SCC))등을 들수있다.

α -brass, Cu, Al, Ag 등 fcc 金屬 또는 Zn과 같은hcp 金屬이 Hg, Ga 또는 Hg-Ga溶液, Bi 등液相 또는溶融金屬에浸漲되었을 때原來의延性가급격하게감소되고脆性이생기게된다. 이런延性-脆性轉移는 金屬의 증가에 따라 현저하게 나타난다.液相金屬이 金屬材料내에浸透해 들어가는 경우에는外部의應力 없

이도脆性破壞(多結晶의 경우 粒界脆性破壞, 單結晶의 경우 裂開破壞(cleavage fracture)도 가능하다)를 유발시킨다. 보통不活性의 靄團氣에서延性를 나타내는Al合金과 같은材料가 Hg 분위기에서脆性를 나타내고,脆性轉移速度가 50—500cm/s가 된다고 알려져 있다. 이런現象을液相金屬誘起脆性(liquid metal embrittlement(LME))이라한다.

燒戻脆性(temper embrittlement(TE)), 水素脆性(HE),液相金屬脆性(LME)과 같은脆性現象을설명하는데表面energy와凝集力(cohesive force)의 개념을 이용하는것이보통이다. A. S. Tetelman 등¹⁾은上記한 3 가지現象 모두에凝集力弱化model(decohesion theory)을提出하였고, R. A. Oriani²⁾는不純物原子가凝集力(inter-atomic bonding)에주는영향을表面energy에주는영향으로부터分離하려고하였지만 주로HE를decohesion theory로써설명하였다. 비슷하게 C. J. McMahon³⁾과 E. D. Hondros⁴⁾는粒界偏析파그에 따른粒界energy감소가燒戻脆性에서粒界脆性破壞를조장한다고하였다. 그러나最近에M.P.Seah⁵⁾는이와같은燒戻脆性的개념에도전하여母體原子와脆性를일으키는原子크기의差異에의하여脆性이생길다고하였다. 그러나이model을LME까지延張하지않았다.

이와같이LME는TE, HE, SCC, 分位기의의한유리또는plastics의脆性破壞現象과함께기초과학과공업적見地에서매우흥미있는分野이다. 그럼에도不拘하고그의機構와kinetics에대하여연구자에따라서로다른입장을취하고있다.

그래서本稿에서는最近까지알려진LME현상을整埋, 分析하여그原因을體系화시키려한다.

2. LME에 대한 두가지 models.

LME에 대한 機構는 液相金屬이 어떻게 龜裂成長을 도와 주는가, 즉 液相金屬이 어떻게 作用하여 龜裂의 成長에 필요한 破壞 energy, γ_f , 를 減少시키는가 하는 問題로 回答된다. 材料內의 地域을 龜裂의 表面 또는 液界와 格子區域으로 나누어 보면 各地域에 液相金屬이 存在할 수 있고 그 液相金屬原子가 龜裂成長을 도와준다고 할 수 있다. 이리한 觀點에서 문현에 나타난 LME를 分類하면 위에서 暗示하였듯이

(1) 吸着誘起 表面 energy 減少說(adsorption-induced reduction in surface energy model)과

(2) 吸着誘起 凝集力弱化說(adsorption-induced reduction in bond strength model ; decohesion theory)로 나누어 생각할 수 있다.

(1). 表面 energy 減少說

材料의 粒界나 表面上에 异物質原子가 吸着하게 되면 表面 energy 가 낮아 진다. 多結晶 金屬이 다른 液相金屬에 의하여 濕潤(wetting)되면 液相金屬이 固體-液體 界面 energy 를 낮추고, 液體金屬이 粒界로 浸透해(penetrate) 들어갈 수 있다. 즉 Fig. 1에서 표시한 바와 같이 γ_A , γ_B , γ_C 는 각각 表面 energy 를, A, B, C는 각각 界面角을 나타낸다. 만약에 $\gamma_A = \gamma_B = \gamma_S$ =表面 energy이고, $\gamma_C = \gamma_{gb}$ =粒界 energy를 나타내고, C를 表面槽(surface groove) 또는 粒界(grain boundary; gb)에 대한 二面角 또는 接觸角(dihedral angle or contact angle)이라면 $\gamma_{gb} = 2\gamma_s \cos C/2$ 가 되며 γ_{gb} 는 γ_s 와 C값으로 부터 결정할 수 있다. 만약에 液相金屬과 같은

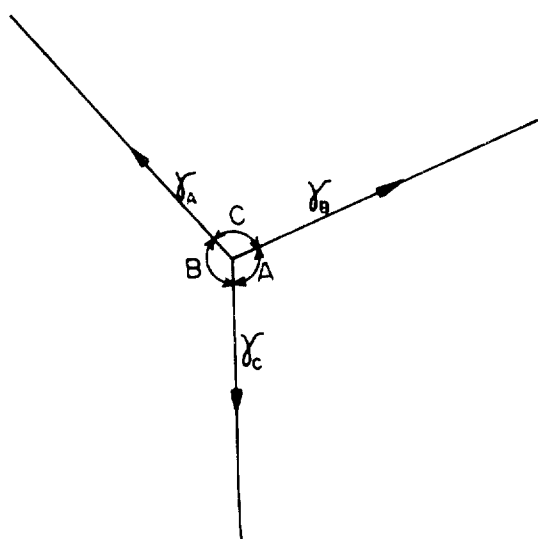


Fig. 1. Relation between surface tensions and angles.

第二相이 吸着하게 되여 $2\gamma_s \leq \gamma_{gb}$ 이면 液相金屬의 接觸角이 0이 되며 第二相이 粒界사이에 얇은 막을 形成하여 완전히 wetting하게 되여 粒界로 浸透해 들어간다. 만약에 $2\gamma_s > \gamma_{gb}$ 가 되면 接觸角이 0이 되지 않는다. 그렇게 되더라도 第二相이 粒界로 어느 정도 浸透해 들어간다. 이와 같은 생각은 아주 간단한 model로써 否定的的 意味에서 LME 현상을 解釋할 수 있고, 對定的的 側面에서 液相燒結(liquid-phase sintering)에 의한 cermets(金屬 film에 의하여 結合된 金屬粒子의 集合體)製造過程을 이해할 수 있다.

水素脆性 現象을 解釋하는데 吸着說의 model^{6,7)}과 마찬가지로 液相金屬이 吸着[†]되면 固相金屬의 表面 energy 가 낮아지기 때문에 脆性現象이 나타난다고 한다^{8,9)}. 吸着過程이 發熱反應(exothermic reactions)이므로 Le Chatelier's 原則에 의하여 溫度가 增加함에 따라 吸着反應이 어려워지고 따라서 吸着되는 量이 減少하게 된다는 意味한다.

M. H. Kamdar의 分析結果¹⁰⁾에 의하면

$$\sigma_p(\text{blunted crack}) = (E \rho \gamma / 4c)^{1/2} \dots \dots \dots (1).$$

여기서 σ_p =龜裂을 傳播하는데 필요한 應力; E =Young의 弹性係數; $\rho \gamma$ =blunted 龜裂을 傳播하는데 필요한 energy, ϕ_p ; ρ =龜裂先端에서 曲率半徑, R_1/a_0 의 比率(物理的으로 次元이 없는 值)= R_1/a_0 ; c =龜裂길이를 각각 意味한다. 固相金屬의 自기자신의 증기에 대한 表面 energy, γ_{sv} , (Fig. 1에서 γ_C 에 해당함)과 固相金屬의 液相金屬에 대한 界面 energy, γ_{sl} , (Fig. 1에서 γ_A 또는 γ_B 에 해당함)을 고려하면, “龜裂傳播에 대한 脆性係數(coefficient of embrittlement for crack propagation)”, η_p , 는 液相金屬이 있을 때의 龜裂傳播 energy/液相이 없을 때의 energy에 대한 比率로 定義된다. 즉 $\eta_p = \phi_{liq}/\phi$. 實제로 固相의 表面 energy는 1 J/m²의 order를 갖고 脆性이 없는 延性의 金屬에 대한 ϕ 값은 1 kJ/m²의 order를 갖고 있는 것으로 알려져 있다. 따라서 塑性 blunting係數, ρ ,는 10³정도 된다. 이 係數는 bulk 金屬의 성질을 나타나며 溫度, 伸延率와 降伏強度의 函數가 된다. 따라서 γ 의 차그만 變化가 擴大되어 破壞 energy에 대단히 큰 영향을 준다. 固相金屬 表面上에 있는 液相金屬이 塑性變形에 아무런 影響을 주지 않는다고 假定하면 ρ 는 變化되지 않고 $\eta_p = \gamma_{sl}/\gamma_{sv}$ 가 된다. 그래서 이 方法에 의하면 어떤 固相에 있는 어떤 液相의

[†]註 LME와 HE의 差異點으로써 液相金屬 原子는 龜裂先端에 吸着되고(adsorption), H는 proton (H^+)의 形태로 吸收된다(absorption)고 主張하는 說도 있고, LME와 HE의 類似性으로써 H도 또한 液相金屬과 마찬가지로 吸着된다는 意見도 있다.

脆性能率(the embrittling efficiency)는 주어진 液相이 界面 energy 를 낮게 하면 할 수록, 그에 따라 커진다. 더욱이 이 model 은 弹性材料의 破壞範圍內에서 국한되어 있으므로, LME 는 古典的 脆性破壞의 特性을 나타낼 것이다. 즉 이 model 에 의하면 破壞 energy 는 γ_{SL} 에 比例하고 弹性伸延 energy(elastic strain energy)를 放出함으로써 裂開龜裂이 생기게 된다.

Table 1 은 Zn에 대한 여러 液相 金屬의 wetting 實驗結果를 보여 주고 있다. Zn을 脆性化시키는 金屬은 非脆性化시키는 金屬보다 월선 界面 energy 를 낮추어 준다. 단 모두 η_p 값이 비슷한 Cd 와 Pb는例外 한다. 왜냐하면 Cd 와 Zn은 서로 反應하기 때문에 이 系에서는 真正한 意味의 平衡狀態의 값은 얻지 못한 것으로 생각된다. 界面 energy 와 脆性舉動을 서로 관連시켜 보면 LME 의 吸着誘起表面 energy 減少說이 正當하다고 생각할 것이다. 게다가 界面 energy 로부터 計算한 脆性係數는 脆性破壞되는 試片의 破壞 energy 와 直接 관계가 된다. 불행하게도 이와 같은 破壞 energy 에 대한 data 가 별로 알려져 있지 않다. 그러나 A. R. C. Westwood 등¹¹⁾에 의하면 Zn 單結晶의 破壞 energy 는 $90 \pm 10 \text{ mJ/m}^2$ 이고, Hg 와 Ga 이 있을 때 각각 53 ± 8 과 $42 \pm 13 \text{ mJ/m}^2$ 의 값을 나타내고 있다. 이 값에 의하면 $\eta_{Hg}=0.589$, $\eta_{Ga}=0.467$ 이 되어 Table 1의 結果와 一致하지 않는다. 아마도 A. R. C. Westwood 等¹¹⁾에 의한 破壞 energy 의 絶對值가 不正確하기 때문일 것으로 생각된다. 이렇게 推測하는 根據로써 Zn 혼자 있을 때의 값, 90 mJ/m^2

Table 1. Interfacial Energies and Coefficients of Embrittlement Calculated from Sessile Drop Experiments, after Old¹¹⁾

Embrittl-ing Metals	Tempera-ture °C	θ (degrees)	γ_{LV}	Energies (mJm^{-2})	$\eta_p = \frac{\gamma_{SL}}{\gamma_{SV}}$
Hg	13	10	498	340	0.41
Ga	104	33	718	228	0.27
In	250	15	544	293	0.35
Sn	256	15	544	305	0.37
Pb	370	24	468	402	0.48
Non-Embrittling Metals					
Na	232	123	191	967	1.16
Bi	295	32	378	509	0.61
Cd	362	43	570	413	0.50

m^2 이 zero-creep 測定으로 부터 決定된 문현의 값, 830 mJ/m^2 , 보다 1 order 낮은 값을 나타내기 때문이다. 따라서 좀더 現실적으로 생각하면 두개의 서로 독립적 實驗結果로부터 計算한 脆性效果의 比率을 比較해 보는 것이다. 破壞 energy 的 값으로 부터 $\eta_{Ga}/\eta_{Hg}=0.793$ 이고, 界面 energy 값으로 부터 0.659 가 된다. 이 두값은 서로 無關한 實驗結果로 부터 얻어진 값이고, 이들이 서로 一致하는 것을 보면 LME 表面 energy 減少說을 뒷받침해 주는 것이라 생각된다. Table 1의 結果로 부터 脆性化 液相金屬의 能率이 Ga, In, Sn, Hg, Pb의 順으로 減少하고 있음을 알 수 있고, 이에 따른 機械的 實驗結果 역시 이 경향을 따를 것으로 象測할 수 있다.

脆性現象이 固相-液相의 金屬界面에서 시작되기 때문에 界面을 energy 側面에서 고려해야 하는게 當然한 일일 것이다. 그럼에도 不拘하고 이와 같은 热力學的方法은 脆性機構를 原子나 分子의 크기로 觀察하는 데 자세한 정보를 제공해 주지 않는다. 實際로 이 model의 虛點으로서 塑性變形에 의하여 產生된 일이 表面 energy 보다 보통 1~3 order의 크기를 갖기 때문에 吸着에 의한 表面 energy 減少는 全體적으로 보아 破壞 energy에 크게 영향을 주지 못할 것이다.

(2) 吸着誘起凝集力弱化說(adsorption-induced reduction in bond strength model; decohesion theory)

上記한 表面 energy 減少說의 적용범위가 제한되어 있으므로 무엇보다 우선 龜裂先端 바로 또는 부근에서의 液相金屬의 吸着效果에 주의를 集中해보자. 이런 觀點에서 보면 龜裂先端 바로 또는 부근에서 液相金屬原子, B,의 吸着(chemisorption)으로 인한 局部的 原子間結合力의 弱化에 의하여 脆性이 생긴다는 것이다¹⁰⁻¹²⁾. Fig. 2에 表示된 龜裂을 생각하면 龜裂傳播는 B의 吸着(chemisorption)으로 인하여 弱化된 A-A₁, A-A₁等型의 結合이 계속하여 切斷됨으로써 일어난다. B原子가 龜裂先端으로부터 충분히 멀리 떨어진 滑走面(slip plane)을 가로 지르는 結合強度(bond strength)에 영향을 주어 龜裂로 부터 轉位(dislocation)의 運動을 容易하게 할 수는 없을 것이다. 이와 같은 理由에서 龜裂先端 近處의 滑走面 위에서 轉位를 움직이는데 必要한 剪斷應力, τ , 가 B原子가 存在함으로써 크게 달라지지 않아야 된다. 따라서 脆性化物質의 吸着으로 인하여 σ/τ 의 比率이 減少하게 된다. σ/τ 의 比率이 減少함에 따라 龜裂이 延性剪斷(ductile shear)보다는 剪開(cleavage)로 傳播하게 되는 傾向이增加하게 된다.

Fig. 3에 表示한 potential energy-分離距離 圖에서

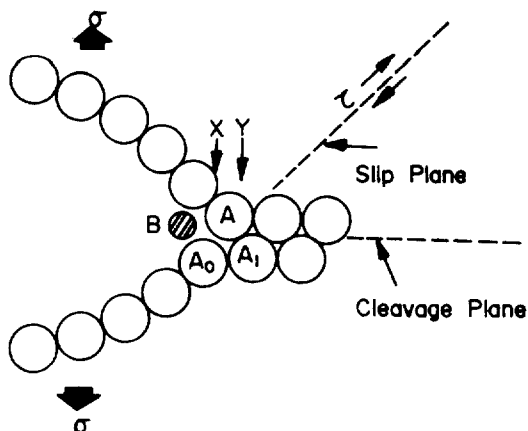


Fig. 2. Illustrating (schematic) displacement of atoms at the tip of a crack. The bond $A-A_0$ constitutes the crack tip and B is liquid metal atom.

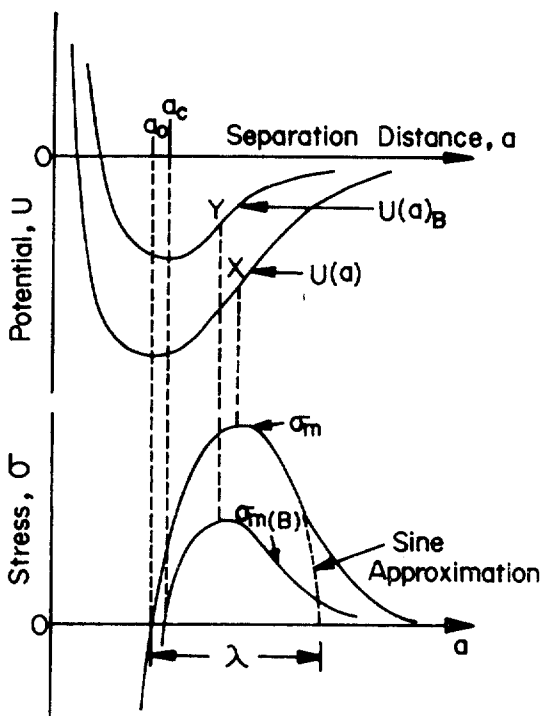


Fig. 3. Schematic potential energy, $U(a)$ and $U(a)_B$, and resulting stress, $\sigma(a)$ and $\sigma(a)_B$, versus separation distance curves for bonds of type A-A₀ (Fig. 2) in the absence and presence of chemisorbed atom B. For spontaneous chemisorption of B, $a_c = a_0$. For strain-activated chemisorption, $a_c > a_0$, after Westwood and Kamdar¹¹.

$U(a) =$ 原子間結合 energy 를 表示하고, $a_0 =$ 破斷面을 가로 지르는 原子사이의 平衡距離를 나타낸다. 原子 A 와 A_0 사이를 分離시키는 데 必要한 應力, $\sigma (=dU/da)$ 는 $\sigma=0(a=a_0)$ 에서 $\sigma=\sigma_{\max}(U(a))$ 곡선의 變曲點, X , 에 該當 까지 變化된다 (X 點은 Fig. 2 와 Fig. 3에 각各 表示하였음). 따라서 龟裂先端에서 作用하는 引張應力의 크기, σ_{\max} , 가 $A-A_0$ 結合을 깨트리는데 必要한 應力이 된다. 實際 應力 curve $\sigma(a)$ 는 거의 sine 曲線의 半波長, λ , 에 該當되기 때문에

$$\sigma_{\max} = (E\lambda/\pi a_0)$$

가 成立된다. A-A₀結合을 깨트리는데 行해진 일이 組合이 깨트려지 후 破斷面의 表面 energy γ 와 같다며

가 成立된다

그다음 假定이 液相金屬原子 B(原子 또는 分子狀態의 水素와 같은 蒸氣相 또는 元素狀態의 gas 를 B原子라고 생각해도 좋다)가 龜裂先端에서 A-A₀의 結合力 (the strength of the bond A-A₀)을 減少시킨다고 한다. 吸着過程은 機械的 試驗에 必要한 時間보다 훨씬 빨리 순간적으로 일어나던지 또는 A 와 A₀ 원자가 어떤 臨界分離距離, a_c, 까지伸延된直後에 비로서 일어난다. 이와 같은 過程이 일어날 때 생기는 電子의 再排列結果로써 A-A₀結合이 弱化하게 된다. 그래서 그에 對應하는 energy는 U(a)_B로 表示된다. 外部應力이 점점增加하여 A-A₀結合에 作用하는 應力이 減少된 破壞強度, σ_m(B)를 넘으면 結合이 깨지고 龜裂이 Y點으로 傳播하게 되고(Y點 Fig. 2 와 3에 각各 表示되었음) B原子가 새로이 形成된 表面에 吸着하게 된다. 이와 같은 過程이 試片이 破壞될 때까지 反復하게 된다. 吸着된 原子와 金屬表面사이相互作用에 대한 理論的 考察과 外部應力 없이 弱化되는 表面結合에서의 吸着으로 因한 電子의 分布變化를 檢查할 수 있는 實驗的方法等이 아직 잘 알려져 있지 않다.

다른 方法은 위의 (2)式에서 $\sigma = \sigma_{\max}$ 에 關聯되는 이
면 特殊한 固體의 脊開面(ceavage plane)에서 우선 진
짜 表面 energy, γ , 를 決定하는 것이고, 그 다음 液相
金屬이 있을 때 γ 가 減少되는 것을 증명하는 것이다.
이와 같은 分析은 M. H. Kamdar¹⁰⁾에 의하여 試行되
였으며 위의 (1)式으로 주어진다. 즉

$$\sigma_b = (E\rho\gamma/4c)^{1/2}$$

여기서 주의할 것은 龜裂傳播 energy, ϕ_p 가 直接 表面 energy, γ , 와 關聯되는 것이지 表面 energy(γ) + 塑性變形弛緩 energy(p)의 합으로 생각하는 것이 아니다. 만약 $\phi_p = \gamma + p$ 이고, 보통 延性的 金屬에서 처럼 $p > \gamma$ 이면, 얼마나 ϕ_p 의 크기가 試驗雰圍氣에 따라 크게 영

향을 받을지를 보여주는 게 어렵다는 것을 알게 될 것이다.

B 원자에 의하여 희석화되면 $A-A_0$ 결합만이 영향을 받는 것이지 결코 龜裂先端의 曲率半徑은 영향을 받지 않는다. 이것은 희석係數를 定義할 수 있는 可能性을 나타낸다. 즉 희석係數는 희석化 物質이 있을 때의 龜裂先端에서 結合을 깨는 데 吸收되는 energy를 희석化 物質이 없을 때의 energy에 대한 比率로 定義한다. 즉

$$\eta_p = \phi_{pA(B)} / \phi_{pA} = \gamma_{A(B)} / \gamma_A, p=1, \dots, (3).$$

$$\eta_p = \phi_{pA(B)}/\phi_{pA} = \gamma_{A(B)}/\gamma_A, p=1, \dots, (3).$$

금속내의 龜裂을 傳播하는 데 포함되는 총 energy, ϕ_p 는 다음과 같이 쓸 수 있다:

여기서 η_p 와 $\rho =$ 獨立의인 比率; $\eta_p =$ 霧圍氣 變數; $\rho =$ 塑性變形 弛緩變數를 각각 나타낸다. (3)式과 (4)式에서 原子크기로 보면 날카롭고, 削性變形에 의하여 무디어진 龜裂에 대하여決定된 係數, η_p , 가 1보다 적으면 즉 $\gamma_{A(B)} < \gamma_A$ 또는 $\phi_{pA(B)} < \phi_{pA}$ 이면 脆性이 소위 液相金屬誘起 凝集力 脆弱說에 의하여 일어난다고 볼 수 있다.

A. R. C. Westwood 等¹¹⁾, J. J. Gilman¹³⁾과 R. K. Govila 等¹⁴⁾은 DCB(double cantilever beam)試片을 이용하여 割開龜裂을 만들어 이온結合, 共有結合 및 金屬間結合의 單結晶의 割開面에서 龜裂傳播에 必要한 energy 를 測定하였다. 이렇게 實驗的으로 決定된 ϕ_p 값은 理論的으로 구한¹⁵⁾ 割開 表面 energy 値과 잘一致한다. 따라서 이 方法에 의하여 龜裂先端에 液相 金屬이 存在할 때 單結晶에서 割開 表面 energy 를 測定할 때 사용하여도 무방하다고 볼 수 있다.

A. R. C. Westwood 等¹¹⁾은 Fig. 4에 表示한 DCB試片을 써서 ϕ_p 를 測定하였다. 이 때 다음과 같은 式으로 부터 ϕ_p 를 計算하였다:

$$\phi_s = (6F^2L_0^2/EW^2t^3),$$

여기서 $F = 0$ 미 -196°C 에서 만들어진 龜裂질이, L_0 를 傳播하는 데 必要한 荷重; W 와 $t =$ 試片의 넓이와 두께를 각各 意味한다. Zn 에 대하여 測定한 ϕ_p 값이 온도에 無關하고 $90 \pm 10 \text{ erg/cm}^2$ 이 되며 이것은 理論的으로¹⁵⁾ 구한 Zn 의 基底面(basal plane)의 割開表面 energy 값, 85 erg/cm^2 와 잘一致한다. 이 값은 Zn 의 基底面의 割開에 대한 진짜 破壞表面 energy, 즉 $\gamma(Zn)$ 으로 생각할 수 있다. 액체 Hg 이 龜裂先端에 있으면 ϕ_p 는 $53 \pm 8 \text{ erg/cm}^2$ 로 減少하게 된다. $Zn-Hg$ 雙의 脆性係數, $\eta_p(Zn-Hg) = \phi_p(Zn-Hg)/\phi_p(Zn)$ ($\rho = 1$) 는 0.61 ± 0.12 가 된다. 이 값은 液相 Hg 가 있을 때 Zn 에서 龜裂을 생기게 하는데 (to initiate a crack) 必要한 energy ($50 \pm 3 \text{ erg/cm}^2$) 와 同等하다. 이 것은 龜裂

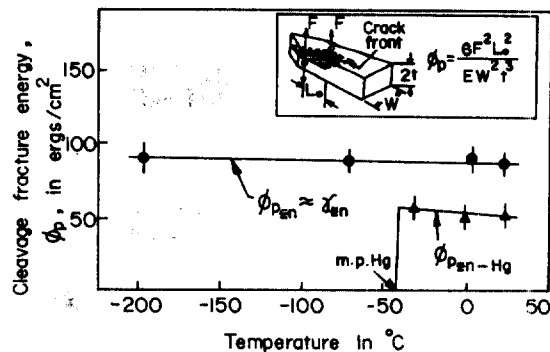


Fig. 4. Effects of temperature and liquid mercury environment on the cleavage crack propagation energy, ϕ_p , for the (0001) planes of zinc. The inset shows the formula and type of specimens used to determine ϕ_p , after Westwood and Kamdar¹¹.

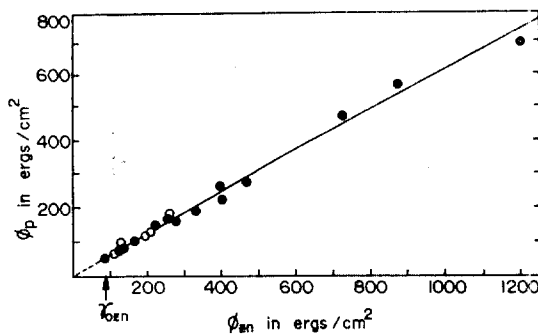


Fig. 5. A comparison of the fracture energy involved in the propagation of a plastically blunted crack in air, ϕ_p , Zn, and in mercury, ϕ_p , Zn-Hg, from a double propagation experiment. A line of slope 0.61 is drawn through the data, after Westwood and Kamdar¹¹.

形成과 傳播가 基底面에서 일어나고, 이것이 또한 破斷面을 가로 질러 Zn-Zn의 結合을 깨트리는 過程을 内包하고 있는 것으로 理解될 수 있다.

Ga 속에서 Zn 을 이용하여 비슷한 實驗을 試行한 結果 ϕ_p (Zn-Ga)이 $-42 \pm 13 \text{ erg/cm}^2$, η_p 가 0.48 ± 0.17 을 얻었다. 이 것으로 보아 Ga 이 Hg 보다 더 심한 脆性을 야기시킨다.

위의 實驗結果로 부터 Hg 나 Ga 이 있을 때 測定한 ϕ_4 값이 Zn 的 基底面에 대한 r 값보다 적은 것으로 보

아도 LME의 吸着誘起 凝集力 弱化說이 옳다고 主張 할 수 있다.

A. R. C. Westwood 等¹¹⁾은 위와 비슷한 實驗을 하여 龜裂先端에서의 塑性變形 blunting 이 龜裂傳播에 주는 영향을 조사하였으며 不活性 雾圍氣와 Hg 분위기에서 ϕ_p 와 η_p 를決定하였다. Fig. 5에 $\phi_p(\text{Zn-Hg})/\phi_p(\text{Zn}) = 0.61 \pm 0.07$ 의 關係를 表示하였으며 기울기가 0.61 이 되도록 直線을 그었다. 그래서 塑性變形의으로 무딘 龜裂에 대하여 $T=25^\circ\text{C}$ 일 때 $\eta_p(\text{Zn-Hg})=0.61$ 이며 원자크기의 날카로운 龜裂에 대하여 구한 값과 같았다. 이 結果로 미루어 보아 $\rho > 1$ 일 때에도 (3)式이 成立됨을 알 수 있고 塑性變形에 의하여 무딘 龜裂의 碰遇에도 脆性은 吸着誘起 凝集力 弱化說에 의하여 일어난다는 것을 알 수 있다. 그래서 龜裂先端에서 凝集力 弱化때문에 液相金屬이 있을 때 무딘 龜裂을 傳播하는데 必要한 應力集中(stress concentration)은 不活性 雾圍氣에서 보다 더 낮은 값을 나타낸다. 비슷한 理由를 塑性變形이 항상 脆性에 앞서 일어나는 大部分의 脆性雙에 침체 적용할 수 있다.

3. 結論

最近 文獻에서 LME原因으로써 두 가지 models(表面 energy 減少說과 凝集力 弱化說)을 提案하고 있다. 그런데 後者の 타당성을 널리 認定하고 있다. LME는 HE(HIC 또는 HISCC), SCC等과 같은 다른 脆性現象과 함께 병행하여 유사하게 취급할 수 있다.

References

- 1) A. S. Tetelman and S. Kunz, Tech. Rept. on Contract DAHC-04-69-C-0008, UCLA (1973), cited by C. F. Old "Mechanisms of Environment Sensitive Cracking of Materials", Intern. Conf. Univ. of Surrey, 4-7 April 1977 edited by P. R.

- Swann, F. P. Ford and A. R. C. Westwood, organized by The Metals Soc., p. 191/200.
- 2) R. A. Oriani, Conf. on SCC and HE in Iron-Base Alloys, UNIEUX-Firming, (June 1973), cited by C. F. Old loc. cit.
 - 3) C. J. McMahon Jr., Conf. on the Mechanics and Physics of Fracture, Cambridge, (Jan. 1975) cited by C. F. Old loc. cit.
 - 4) E. D. Hondros, ibid.
 - 5) M. P. Seah, Proc. Roy. Soc., A349 (1976) 535, cited by C. F. Old loc. cit.
 - 6) N. J. Petch and P. Stable, Nature, 169 (1952) 842/843.
 - 7) N. J. Petch, Phil. Mag., 1 (1956) 331/337.
 - 8) W. Rostoker, J. M. McCaughey, and M. Markus, "Embrittlement by Liquid Metals", New York, Reinhold (1960), cited in Ref. 9.
 - 9) H. Nichols and W. Rostoker, Acta Met., 9 (1961) 504/509.
 - 10) M. H. Kamdar, Embrittlement by Liquid Metals, Prog. Matls. Sci., 15 (1973) 289, cited by C. F. Old loc. cit.
 - 11) A. R. C. Westwood and M. H. Kamdar, Phil. Mag., 8 (1963) 787, cited by C. F. Old loc. cit.
 - 12) N. S. Stoloff and T. L. Johnston, Acta Met., 11 (1963) 251/256.
 - 13) J. J. Gilman, J. Appl. Phys., 31 (1960) 2208, cited by M. H. Kamdar, in the same as cited Ref. 1.
 - 14) R. K. Govila and M. H. Kamdar, Met. Trans., 2 (1970) 1011, cited by M. H. Kamdar loc. cit.
 - 15) J. J. Gilman, "Fracture", Ed. B. L. Averbach, D. K. Felback, G. T. Hahn and D. C. Thomas, John Wiley and Sons, New York (1959).